

# ЭКСПЕРИМЕНТАЛЬНАЯ НАРКОЛОГИЯ

## *Участие $\mu$ -опиатных рецепторов ростральной и каудальной областей прилежащего ядра в реализации положительно-подкрепляющих свойств героина у крыс*

СМИТ Д.

профессор, зав. кафедрой физиологии и фармакологии медицинского факультета университета

Вейк-Фореста, Уинстон-Салем, Северная Каролина, США,

ЛЮПИНА Ю.В.

к.биол.н., старший научный сотрудник лаборатории нейробиологии влечений,

НИИ наркологии МЗ РФ, Москва

МАРТИН Т.

профессор кафедры физиологии и фармакологии медицинского факультета университета

Вейк-Фореста, Уинстон-Салем, Северная Каролина, США

КИМ С.

профессор кафедры физиологии и фармакологии медицинского факультета университета

Вейк-Фореста, Уинстон-Салем, Северная Каролина, США

*Впервые было установлено, что  $\mu$ -опиатные рецепторы каудальной области прилежащего ядра вносят наибольший вклад в реализацию положительно-подкрепляющих свойств героина в реакции самовведения у крыс по сравнению с  $\mu$ -опиатными рецепторами, расположенными в ростральной области прилежащего ядра. Установленный факт связан с особенностями функциональной организации этой области прилежащего ядра.*

Опиаты являются важным классом фармакологических соединений, они широко используются в клинике в качестве анальгетиков. Однако эти вещества обладают некоторыми фармакологическими особенностями, которые ограничивают их клиническое применение. К нежелательным эффектам опиоидов относятся положительные подкрепляющие свойства, которые обуславливают высокий наркогенный потенциал. Героин является широко распространенным нелегальным наркотиком во многих странах Европы и Азии, а также Северной Америки.

Изучение самовведения наркотиков у животных является удобной моделью для выявления подкрепляющих свойств веществ, лежащих в основе развития влечения к наркотику. Инфузии героина обуславливают реакцию его самовведения у животных в дозозависимой манере [5]. Известно, что опиаты оказывают свое действие, связываясь со специфическими участками опиатных рецепторов. Антагонисты  $\mu$ -опиатных, но не  $\delta$ - или  $\kappa$ -опиатных рецепторов, как было показано, снижают реакцию самовведения герояна у крыс [17]. В мозге высокая плотность опиатных рецепторов, так же как и опиоидных пептидов выявлена вентральной тегментальной области и в нескольких дофаминергических путях, включающих прилежащее ядро (Nucleus accumbens). Прилежащее ядро является ключевым звеном в реализации подкрепляющих эффектов  $\mu$ -опиоидных рецепторных агонистов [4, 8]. В экспериментах установлено, что крысы вводят морфиноподобные опиаты непосредственно в прилежащее ядро [6, 8, 18]. Поведенческие и фармакологические доказательства вовлечения прилежащего ядра в реализацию подкрепляющих свойств опиатов согласуются с данными об анатомической локализации  $\mu$ -опиоидных рецепторов в этом регионе. Недавно, были получены ультраструктурные доказательства того, что  $\mu$ -опиатные рецепторы в прилежащем ядре локализованы преимущественно на экстрасинаптических участках плазматических мембран дендритов, контактирующих с опиоидергическими эfferентами. Подкрепляющие свойства опиатов реализуются через активацию  $\mu$ -опиоидных рецепторов прилежащего ядра и изменение чувствительности нейронов-мишеней для опиоидных пептидов [22].

Выяснение рецепторных механизмов фармакологического действия опиатов стало возможным благодаря применению различных и обратимых, и необратимых селективных  $\mu$ -опиатных рецепторных антагонистов.

-Фуналтрексамин (производное налтрексона,  $\mu$ -FNA) был одним из первых селективных  $\mu$ -опиоидных рецептор-алкилирующих антагонистов, изученных биохимически и фармакологически [23].  $\mu$ -FNA необратимо связывается с  $\mu$ -опиоидными рецепторами, вызывая длительный антагонизм  $\mu$ , но не  $\delta$ -опиатных рецепторов [7, 9, 21]. Плотность  $\mu$ -опиатных рецепторов снижается в мозге крыс после введения  $\mu$ -FNA в дозах, вызывающих сдвиг кривой доза-эффект для анальгетического эффекта  $\mu$ -опиоидных рецепторных агонистов в неконкурентной манере [1, 11]. Анатомическая локализация связывания  $\mu$ -FNA в мозге является индикатором  $\mu$ -опиатных рецепторов [10]. Локализация внутрижелудочкового введения  $\mu$ -FNA на [ $^3$ H]DAMGO-связывании с мембранными различных структур мозга у крыс показала, что снижение плотности  $\mu$ -опиатных рецепторов составляет 50% и является относительно постоянной величиной во всех регионах мозга [13, 14, 15].

Целью настоящего исследования было определить функциональную роль  $\mu$ -опиатных рецепторов ростральной и каудальной области прилежащего ядра в реализации реакции самовведения герояна у крыс.

### **Методы исследования**

#### **Животные**

В экспериментах использовались крысы-самцы линии Fischer-344, весом 250–300 г в начале эксперимента. Животные содержались индивидуально в плексиглассовых клетках, вода была доступна животным *ad libitum*, стандартный корм (одна пищевая гранула весила 5 г) давался в таком количестве, чтобы вес животного находился в пределах 85–90 % от исходного. Температура содержания животных контролировалась в автоматическом режиме 211 С. Режим световая/темновая фаза был продолжительностью 12 ч каждая фаза. Все эксперименты были проведены в темновую фазу (05:00 — 17:00).

Все хирургические процедуры проводились, как было описано ранее [14]. Животные были анестезированы с по-

Местоположение направляющей канюли от точки "Bregma"

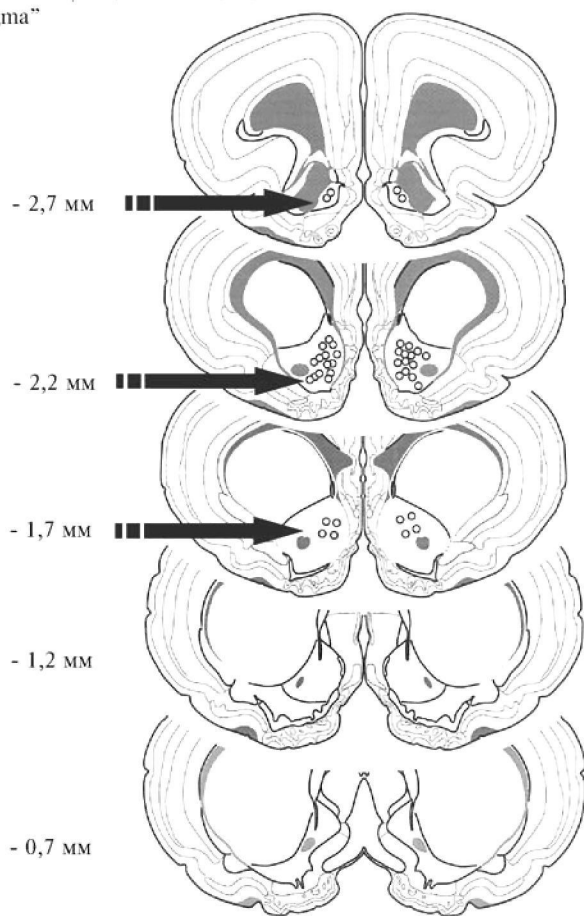


Рис. 1. Схематическое изображение местоположения направляющей канюли для фокальной инъекции -FNA в ростральную область прилежащего ядра

мошью внутрибрюшинной инъекции фентобарбитала в дозе 50 мг/кг и атропина сульфата в дозе 10 мг/кг. Животным был имплантирован катетер в правую подключичную вену. Катетер был зафиксирован под кожей с помощью тefлонового ограничителя. Внешний конец катетера был подсоединен к иньектору с помощью жидкостного контакта и защищен пружинным металлическим поводком [25]. Направляющие канюли были имплантированы билатерально с использованием стереотаксического аппарата Stellar, который позволяет автоматически регулировать угол имплантации направляющей канюли. Направляющие канюли были имплантированы в дорсальную область рострального отдела (+2,2 мм от точки "Bregma", 1,5 мм от средней линии и 5,8 мм вентрально от поверхности кости черепа) (рис. 1) или каудального отдела (+0,7 мм от точки "Bregma", 1,5 мм от средней линии и 5,8 мм вентрально от поверхности кости черепа) (рис. 2) прилежащего ядра. Угол имплантации направляющей канюли составлял 100 к поверхности кости черепа.

Канюли были зафиксированы на черепе животного с помощью зубного акрилового цемента и самозакручивающихся винтов (J.I. Morris and Co., Southbridge, MA). После операции животным однократно было введено внутримышечно 75 000 МЕ пенициллина G прокайна, и все наружные покровы, подвергшиеся хирургическому воздействию были обработаны антибиотиком (Polysporin, Wellcome-Glaxo, Research Triangle Park, NC).

Местоположение направляющей канюли от точки "Bregma"

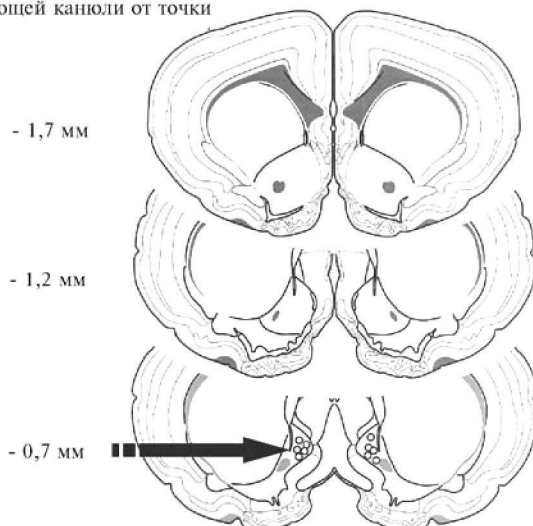


Рис. 2. Схематическое изображение местоположения направляющей канюли для фокальной инъекции -FNA в каудальную область прилежащего ядра

Данные гистологического исследования свидетельствовали, что инъекции были произведены в ростральную область прилежащего ядра, что соответствовало положению направляющей канюли на уровне 2,7 и 1,7 мм ростральнее точки "Bregma" для этих животных (рис. 1) ( $n=18$ ) или каудальную область прилежащего ядра, что соответствовало положению направляющей канюли на уровне 1,2 и 0,7 мм ростральнее точки "Bregma" для этих животных (рис. 2) ( $n=14$ ).

#### **Внутривенное самовведение героина**

Реакция самовведения героина вырабатывалась у животных по методике, описанной ранее [14]. Все эксперименты были проведены в инструментальных звукоизолированных камерах (21 21 28 см), контролируемых IBM-компьютером через специальный интерфейс (MED Associates Inc., St Albans, VT). В течение 4 ч экспериментальной сессии лампа в камере была включена, что было сопряжено с возможностью активации педали. При нажатии на педаль, расположенную на высоте 6,8 см от пола и 1,1 см книзу от лампы, животные получали инфузию 60 мкг/кг героина в объеме 0,2 мл в течение 5,6 с. У животных вырабатывалась реакция самовведения герояна при фиксированном соотношении, равном 1. Реакция самовведения считалась выработанной успешно, если количество полученных инфузий в экспериментальную сессию не превышало 10% таковых значений предыдущей экспериментальной сессии. Затем в течение нескольких последовательных сессий фиксированное соотношение было увеличено с 1 до 10, что обеспечивало получение животным инфузии герояна только после 10-кратного нажатия на педаль. После достижения стабильной экспериментальной реакции в течение 5-ти дней у каждого животного была получена зависимость количества полученных инфузий от дозы герояна, которой заменяли "учебную" дозу 60 мкг/кг. Дозы герояна: 1, 3, 6, 18, 30 или 100 мкг/кг были использованы для получения зависимости количества получаемых инфузий от дозы герояна. Кроме того, были произведены 3-кратные замены герояна на физиологический раствор с целью выявления у животных способности к дифференцированию герояна от физиологического раствора.

### **Введение $\beta$ -FNA в прилежащее ядро**

-FNA в указанных дозах (0,25, 1,25 или 2,5 нМ или 0,9% NaCl, pH 7,4) были введены в объеме 1 мкл со скоростью 0,2 мкл/мин с помощью микроИнфузионного насоса (KDS Scientific, Boston, MA).

### **Изучение эффекта введения $\beta$ -FNA на радиоаутографическое связывание $[^3\text{H}]DAMGO$ и $[^3\text{H}]DPDPE$ в прилежащем ядре.**

Метод был ранее описан Martin et al., 1993. Срезы головного мозга животных толщиной 20 мкм были сделаны на пяти различных уровнях области прилежащего ядра, соответствующих -2,7, -2,2, -1,7, -1,2 или -0,7 ммrostрально от Bregma и идентифицированных согласно атласу Paxinos and Watson, 1986. Животных декапитировали через 24 ч после введения -FNA или 0,9% раствора NaCl. Срезы были преинкубированы в течение 20 мин в буфере (50 mM Tris HCl, pH 7,4) при 25 °C, с последующей 2,5-ч инкубацией или в 2 нМ  $[^3\text{H}]DAMGO$  или 4 нМ  $[^3\text{H}]DPDPE$ . Эти концентрации соответствуют кривым насыщения для -опиатных и -опиатных рецепторов, соответственно, в этих условиях [13]. Неспецифическое связывание было оценено в присутствии 1 мкМ наркоксина в примыкающих к прилежащему ядру отделах головного мозга. Срезы отмывали в течение 2 мин в холодном буфере с последующей промывкой в дистиллированной воде в течение 10 с. Затем срезы высушивались в потоке холодного сухого воздуха и экспонировались на  $^3\text{H}$ -чувствительной пленке (Нурег-фильм- $^3\text{H}$ , Amersham, Arlington Heights, IL) вместе со стандартом ( $^3\text{H}$ -microscales, Amersham, Arlington Heights, IL) в течение 9 недель.

### **Анализ данных**

Данные, полученные у животных в экспериментах по самовведению, обрабатывались с помощью дисперсионного анализа (ANOVA). Bonferroni-Dunn t-test для анализа многократных повторных наблюдений был использован при оценке временного эффекта введения -FNA. Для анализа данных радиоаутографического исследования был использован двухфакторный анализ ANOVA с использованием прилежащего ядра и дозы -FNA в качестве независимых вариантов и плотности  $[^3\text{H}]DAMGO$  или  $[^3\text{H}]DPDPE$  в качестве зависимых вариантов.

### **Результаты исследования**

#### **Биохимическая и анатомическая специфичность действия $\beta$ -FNA внутри прилежащего ядра**

Введение -FNA в прилежащее ядро в дозозависимой манере снижает плотность -опиатных рецепторов, что выражается в снижении связывания  $[^3\text{H}]DAMGO$  в прилежащем ядре, а максимальное снижение плотности -опиатных рецепторов достигает 80% (рис. 3). Расстояние, на котором происходило снижение плотности -опиатных рецепторов, очевидно, зависит от дозы введенного -FNA в прилежащее ядро. Наибольшая доза -FNA (2,5 нМ) вызывала снижение плотности -опиатных рецепторов на расстоянии до 1,5 мм от места ее введения, а наименьшая доза (0,25 нМ) — на расстоянии только 0,7 мм от места введения (рис. 3). Плотность связывания  $[^3\text{H}]DPDPE$  была заметно уменьшена (на 25+5,6% от контроля) только при введении самой высокой дозы бета-FNA (2,5 нМ). Введение -FNA вызывало достоверное снижение связывания  $[^3\text{H}]DAMGO$  в прилежащем ядре,

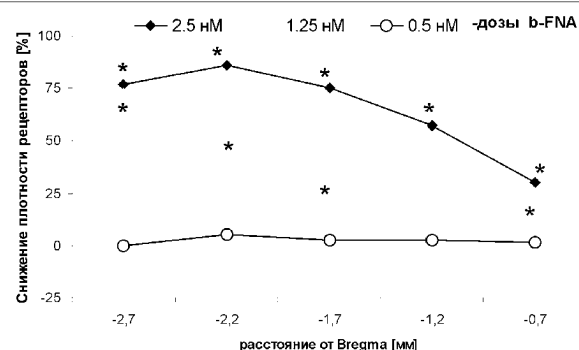


Рис. 3. Влияние -FNA на плотность -опиатных рецепторов в прилежащем ядре. Данные представлены в процентах по отношению к контрольным значениям. \*-  $P<0.05$ .

а в сопредельных областях, таких, как: хвостатое ядро (96+8,0 %), обонятельные луковицы (105+9,0) и передняя кора (92+8,0) не вызывало снижения связывания  $[^3\text{H}]DAMGO$  и показатели связывания не отличались от уровня контрольных значений.

#### **Влияние введения $\beta$ -FNA в ростральную область прилежащего ядра на реакцию самовведения герона у крыс**

Героин оказывал значительное подкрепляющее действие (21,8 + 1,0 инфузий/4 ч) в группе исследованных животных, и замена его на физиологический раствор существенно снижало количество полученных инфузий у этих животных (5,1+0,6 инфузий/4 ч) ( $F(1,38)=237,2$ ,  $P<0,0001$ ). Введение физиологического раствора в прилежащее ядро не оказывало влияния на реакцию самовведения герона у крыс, регистрируемую в течение 18 последовательных сессий после его введения ( $F(14,84)=0,606$ ,  $P=0,853$ ) (рис. 4A). Введение в прилежащее ядро -FNA не оказывало дозозависимого эффекта спустя 24 ч после его введения в ростральную область прилежащего ядра ( $F(3,29)=0,427$ ,  $P=0,735$ ). Не наблюдалось достоверных отличий от контрольной группы животных в реакции самовведения герона, регистрируемую через 24 ч после введения -FNA в ростральную область прилежащего ядра в дозах 0,25 нМ ( $P=0,42$ ), 1,25 нМ ( $P=0,73$ ) или 2,5 нМ ( $P=0,82$ ). Снижение количества получаемых инфузий герона наблюдалось у крыс на 2–4 и 8 дней и возвращалось к контрольным значениям к 9–18 дням после введения 2,5 нМ -FNA в ростральную область прилежащего ядра (рис. 4A).

#### **Влияние введения $\beta$ -FNA в каудальную область прилежащего ядра на реакцию самовведения герона у крыс**

Героин оказывал значительное подкрепляющее действие (22,4 + 1,2 инфузий/4 ч) в группе исследованных животных, и замена его на физиологический раствор существенно снижала количество полученных инфузий у этих животных (4,7+0,6 инфузий/4 ч) [ $F(1,42)=186,7$ ,  $P<0,0001$ ]. Введение -FNA в каудальную область прилежащего ядра оказывало достоверное дозозависимое влияние на количество полученных инфузий у крыс в реакции самовведения герона [ $F(3,31)=2,92$ ,  $P=0,049$ ], причем фактор времени, прошедшего с момента инъекции, также имел существенное значение [ $F(1,31)=6,65$ ,  $P=0,015$ ] (рис. 4B). Введение 0,25 нМ -FNA в каудальную область прилежащего ядра приводило к достоверному увеличению, по сравнению с животными контрольной группы,

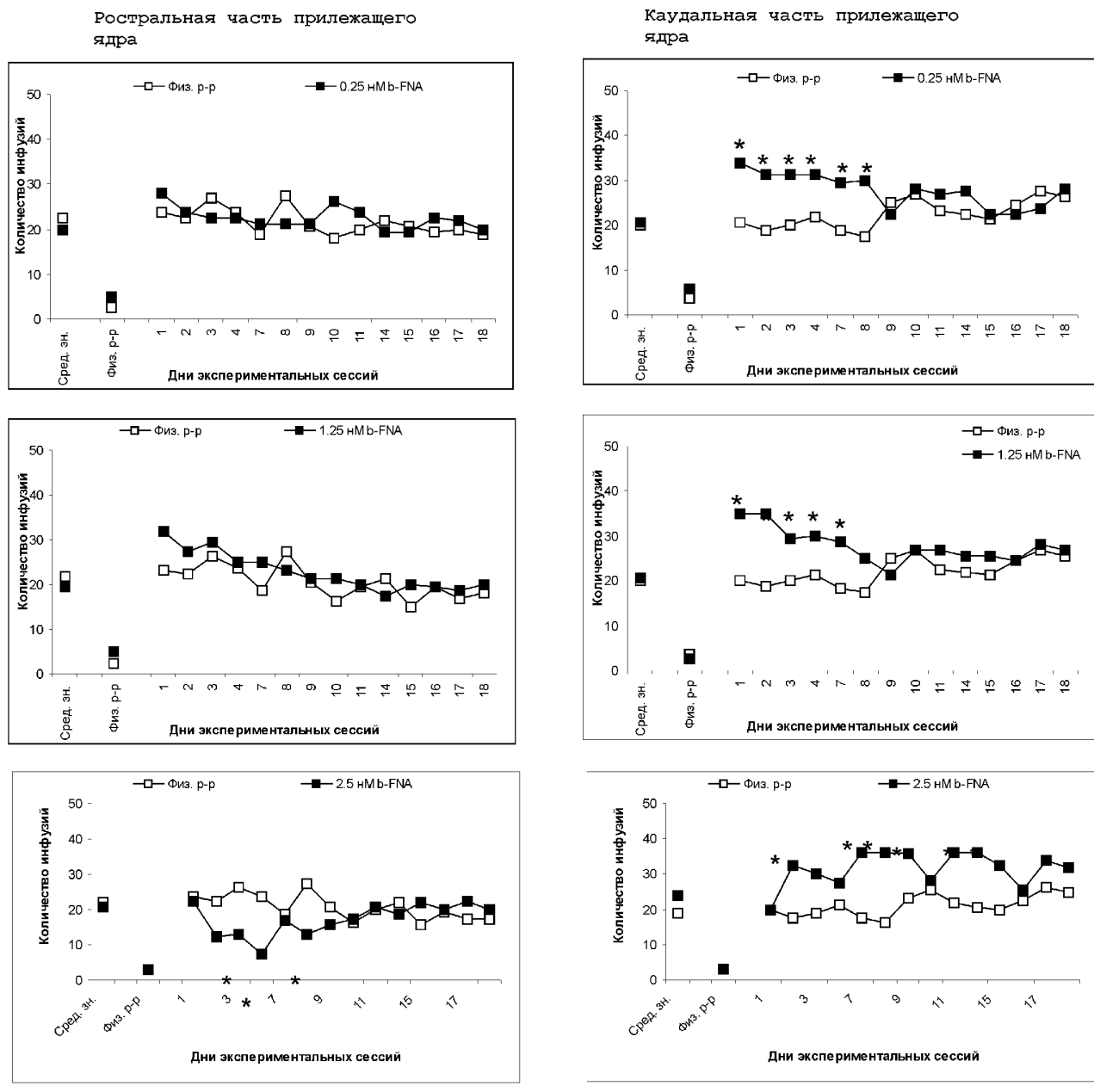


Рис. 4 (а, б). Влияние  $\beta$ -FNA на реакцию самовведения героина у крыс. \* $P<0,05$  по отношению к контрольной группе

количества полученных инфузий героина на протяжении 7 дней после инъекции  $\beta$ -FNA [ $F(14,45)=2,613$ ,  $P=0,0075$ ]. Введение 1,25 нМ  $\beta$ -FNA в каудальную область прилежащего ядра оказывало сходное воздействие [ $F(14,56)=3,85$ ,  $P=0,00468$ ]. Введение 2,5 нМ  $\beta$ -FNA в каудальную область прилежащего ядра достоверно увеличивало количество полученных инфузий в реакции самовведения герона в 15 последовательных экспериментальных сессиях [ $F(14,45)=1,506$ ,  $P=0,049$ ] (рис. 4Б).

#### Обсуждение результатов исследования

Данные, полученные в результате настоящего исследования, впервые указывают на тот факт, что опиатные рецепторы каудальной области прилежащего ядра вносят наибольший вклад в реализацию положительно-подкреп-

ляющих свойств герона в реакции самовведения, по сравнению с таковыми, расположеннымными в ростральной области прилежащего ядра. Прилежащее ядро является сложной структурой, цитоархитектура и функциональная нейроанатомия которой изучалась довольно интенсивно [2, 3, 12, 16, 20, 22, 24]. Ростральная область прилежащего ядра занимает приблизительно одну четверту его части и включает в себя черты ядра и оболочки, которые располагаются каудальнее. Эфференты в ростральную область идут, преимущественно, из корковых структур и полосатого тела, а афферентные волокна имеют свои проекции в черной субстанции и вентральной покрышке. В более каудальную область прилежащего ядра эфференты приходят из вентролатеральной области и задней части полосатого тела, так же как и из некоторых корковых структур, тогда как афференты имеют свои проекции в таламусе и

миндалине. По-видимому, изменения, наблюдаемые у животных в реализации реакции самовведения героина в результате введения -FNA, обусловлены его воздействием на -опиатные рецепторы описанных выше путей. Известно, что активация опиоидных рецепторов в вентратегментальной области вызывает усиление высвобождения дофамина в прилежащем ядре. Опиоидные рецепторы в прилежащем ядре ингибируют нейрональную активность в этой структуре, а большинство дофаминергических нервных окончаний в прилежащем ядре являются проекциями вентратегментальных нейронов. В каудальной области прилежащего ядра, по сравнению с его ростральной областью, имеется большее количество энкефалинергических синапсов нейронов, подтверждающих особую значимую роль каудальной области прилежащего ядра в нейрохимической модуляции этого региона эндогенными и экзогенными опиоидами [22]. Активация опиатных рецепторов нейронов каудальной области прилежащего ядра вызывает изменения в активности нейронов таламуса, миндалины и соматосенсорной коры [20, 24].

Представленные в настоящем исследовании результаты показывают, что необратимое алкилирование -опиатных рецепторов мозга с помощью фокального введения -FNA является важным инструментом для изучения функциональной нейроанатомии дискретных пулов m-опиатных рецепторов. Селективность необратимого алкилирующего эффекта -FNA на -опиатные рецепторы показана в дозах от 0,25 до 2,5 нМ, которые достоверно снижали плотность -опиатных рецепторов и изменили реакцию самовведения герoina у крыс после их введения в каудальную область прилежащего ядра.

Таким образом, -опиатные рецепторы каудальной области прилежащего ядра вносят наибольший вклад в реализацию положительно-подкрепляющих свойств герoina в реакции самовведения. Дальнейшее изучение функциональной активности -опиатных рецепторов в регионах, связанных с этой областью прилежащего ядра, таких, как миндалина и таламус, позволят оценить динамичную картину функционирования -опиатных рецепторов в процессах реализации положительно-подкрепляющих свойств опиатов и, в частности, герoina.

### Список литературы

- Adams JU, Paronis CA, Holtzman SG et al., Assessment of relative intrinsic activity of mu-opioid analgesics in vivo by using beta-funaltrexamine. *JPET*, 1990, Dec;255(3):1027–32.
- Arvidsson U, Riedl M, Chakrabarti S, Lee JH, Nakano AH, Dado RJ, Loh HH, Law PY, Wessendorf MW, Elde R. Distribution and targeting of a mu-opioid receptor (MOR1) in brain and spinal cord. *J Neurosci.*, 1995, May;15(5 Pt 1):3328–41.
- Brog JS and Zahm DS. On the significance of subterritories in the “accumbens” part of the rat ventral striatum. *Neurosci.*, 1992, Oct;50(4):751–67.
- Duvauchelle CL, Fleming SM, Kornetsky C. Involvement of delta- and mu-opioid receptors in the potentiation of brain-stimulation reward. *Eur J Pharmacol.* 1996 Dec 5;316(2–3):137–43.
- Ettenberg A, Sgro S, White N. Algebraic summation of the affective properties of a rewarding and an aversive stimulus in the rat. *Physiol Behav.*, 1982, May;28(5):873–7.
- Goeders NE, Lane JD, Smith JE. Self-administration of methionine enkephalin into the nucleus accumbens. *Pharmacol Biochem Behav.* 1984 Mar;20(3):451–5.
- Heyman JS, Vaught JL, Mosberg HI, Haaseth RC, Porreca F. Modulation of mu-mediated antinociception by delta agonists in the mouse: selective potentiation of morphine and normorphine by [D-Pen2,D-Pen5]enkephalin. *Eur J Pharmacol.*, 1989, Jun 8; 165(1): 1–10.
- Koob GF. Drugs of abuse: anatomy, pharmacology and function of reward pathways. *Trends Pharmacol Sci.*, 1992, May;13(5):177–84.
- Liu-Chen LY and Phillips CA. Covalent labeling of mu opioid binding site by [3H]beta-funaltrexamine. *Mol Pharmacol.*, 1987, Sep;32(3):321–9.
- Liu-Chen LY, Li SX, Lewis ME. Autoradiographic study of irreversible binding of [3H]beta-funaltrexamine to opioid receptors in the rat forebrain: comparison with mu and delta receptor distribution. *Brain Res.*, 1991, Mar 29;544(2):235–42.
- Chen C, Xue JC, Zhu J, Chen YW, Kunapuli S, Kim de Riel J, Yu L, Liu-Chen LY. Characterization of irreversible binding of beta-funaltrexamine to the cloned rat mu opioid receptor. *J Biol Chem.*, 1995, Jul 28;270(30):17866–70.
- Mansour A, Fox CA, Akil H, Watson SJ. Opioid-receptor mRNA expression in the rat CNS: anatomical and functional implications. *Trends Neurosci.*, 1995, Jan;18(1):22–9.
- Martin TJ, Dworkin SI, Smith JE. Effects of intracerebroventricular administration of beta-funaltrexamine on [3H]DAMGO binding to rat brain sections. *J Pharmacol Exp Ther.*, 1993, Oct;267(1):506–14.
- Martin TJ, Dworkin SI, Smith JE. Alkylation of mu opioid receptors by beta-funaltrexamine in vivo: comparison of the effects on in situ binding and heroin self-administration in rats. *JPET*, 1995, Mar;272(3):1135–40.
- Martin TJ, Sim LJ, Selley DE, deMontis MG, Childers SR. Effects of intracerebroventricular administration of beta-funaltrexamine on DAMGO-stimulated [35S]GTP-gamma-S binding in rat brain sections. *Synapse*, 1997, Nov;27(3):177–82.
- Meredith GE, Ingham CA, Voorn P, Arbuthnott GW. Ultrastructural characteristics of enkephalin-immunoreactive boutons and their postsynaptic targets in the shell and core of the nucleus accumbens of the rat. *J Comp Neurol.*, 1993, Jun 8;332(2):224–36.
- Negus SS, Henriksen SJ, Mattox A, Pasternak GW, Portoghese PS, Takemori AE, Weinger MB, Koob GF. Effect of antagonists selective for mu, delta and kappa opioid receptors on the reinforcing effects of heroin in rats. *JPET*, 1993, Jun;265(3):1245–52.
- Olds ME. Reinforcing effects of morphine in the nucleus accumbens. *Brain Res.*, 1982, Apr 15;237(2):429–40.
- Paxinos G and Watson C. The rat brain in Stereotaxic coordinates, 2nd edition, Academic Press, San Diego, 1986.
- Robinson TE, Kolb B. Morphine alters the structure of neurons in the nucleus accumbens and neocortex of rats. *Synapse*, 1999, Aug;33(2):160–2.
- Rothman RB, Long JB, Bykov V, Jacobson AE, Rice KC, Holland JW. beta-FNA binds irreversibly to the opiate receptor complex: in vivo and in vitro evidence. *JPET*, 1988, Nov; 247(2):405–16.
- Svingos AL, Moriwaki A, Wang JB, Uhl GR, Pickel VM. Ultrastructural immunocytochemical localization of mu-opioid receptors in rat nucleus accumbens: extrasynaptic plasmalemmal distribution and association with Leu5-enkephalin. *J Neurosci.*, 1996, Jul 1;16(13):4162–73.
- Takemori AE, Portoghese PS. Affinity labels for opioid receptors. *Annu Rev Pharmacol Toxicol.*, 1985, 25:193–223.
- Wang H, Gracy KN, Pickel VM. Mu-opioid and NMDA-type glutamate receptors are often colocalized in spiny neurons within patches of the caudate-putamen nucleus. *J Comp Neurol.* 1999 Sep 13; 412(1):132–46.
- Weeks JR. Experimental morphine addiction: Methods for automatic intravenous injections in unstrained rats. *Science*, 1962, 138, 143–144.